

**« Réactivité de Surface d'Alumines : des Conditions UHV à  
l'Interface Solide-Liquide  
et de l'Oxyde Massif au Film Mince supporté »**

Dominique Costa  
Laboratoire de Physico-Chimie des Surfaces, UMR 7045  
ENSCP Chimie-Paristech, 11 rue P. et M. Curie,  
75005 Paris

IR

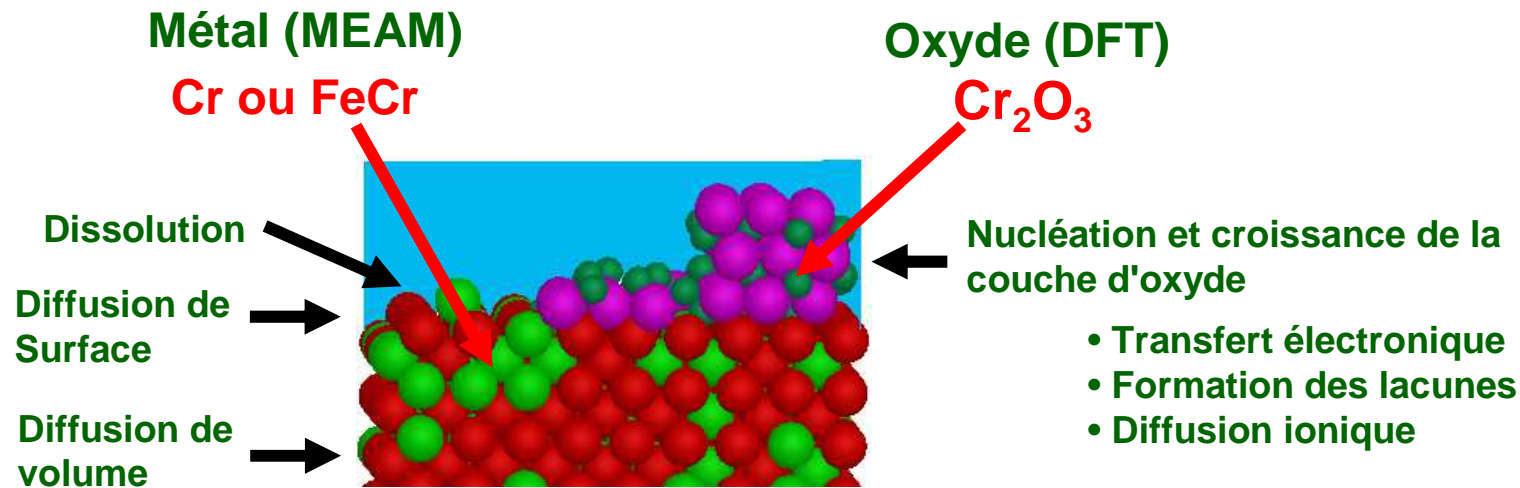
CP

Horizon 2014

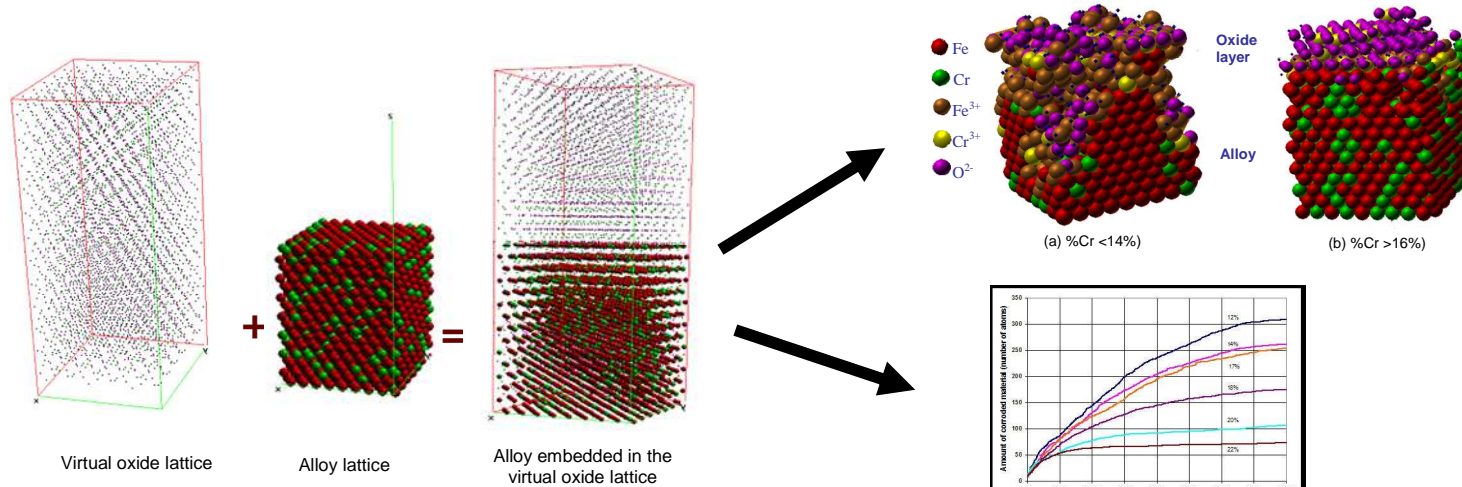
Institut de Recherches Chimie Paris

- Chimie Théorique et Modélisation (CTM)  
(Carlo Adamo, Alain Fuchs, Dung Di Caprio)
- Interface Electrochimie, Energie (I2E)  
(B. Diawara, multi-échelle appliquée à la corrosion)
- Physico-Chimie des Surfaces  
(D. Costa, Réactivité de Surfaces, DFT)

# Approche Multi-Echelle de la croissance de films passifs



Simulation à l'échelle mésoscopique de la croissance du film passif



## Equipe de Physico-Chimie des Surfaces, Axe de Modélisation

- En résonance avec les grands axes de l'équipe de Physico-Chimie des Surfaces, il s'agit de décrire à l'échelle atomique la réactivité de surfaces métalliques et d'oxydes et de films minces d'oxydes sur métaux et alliages.
- L'accent est ainsi mis sur la **réactivité des oxydes vis-à-vis d'entités chimiques corrosives, ou inhibitrices de corrosion,** ainsi que sur la **compréhension des interactions molécules-surface pour de petites molécules organiques et d'intérêt biologique.**
  - Le rôle du solvant (eau) dans les propriétés d'interface est pris en compte .

# Oxide/Water Interfaces from Experiments

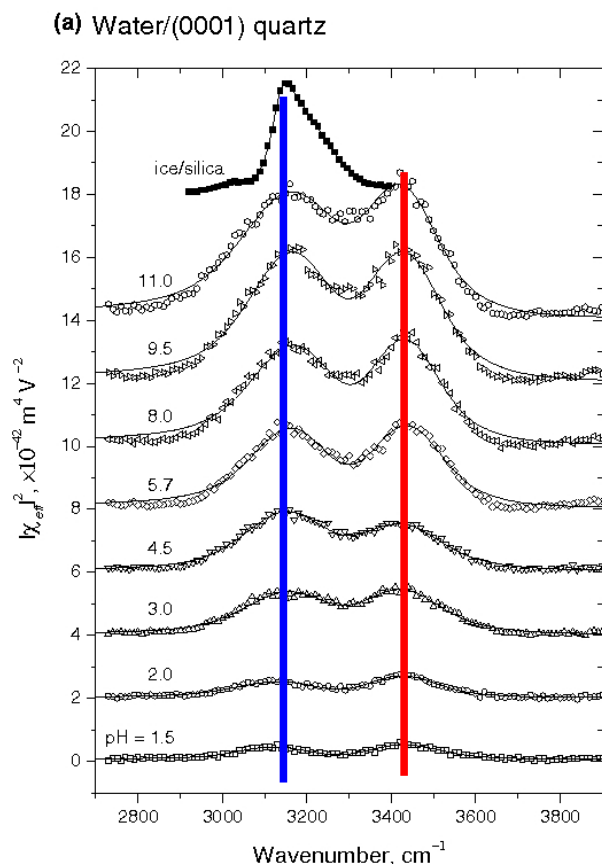
VSFG : Vibrational Sum Frequency Generation,  
non-linear spectroscopy

Exps : Shen et al. (USA)

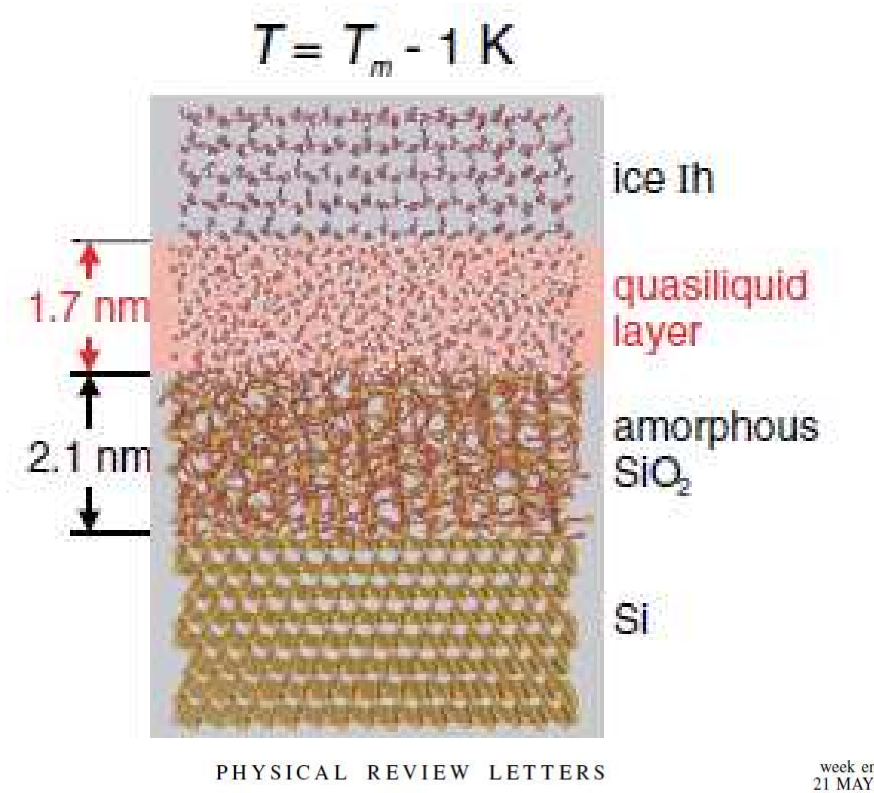
High Energy Transmission Reflexion

Exps : Engemann

## Ice-like layer at the contact with Quartz

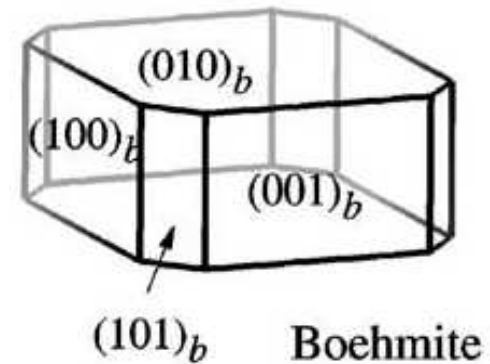
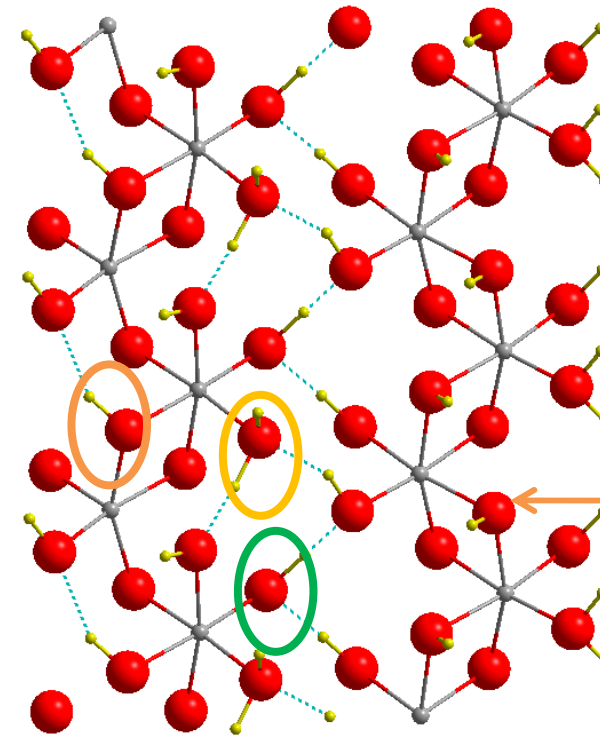
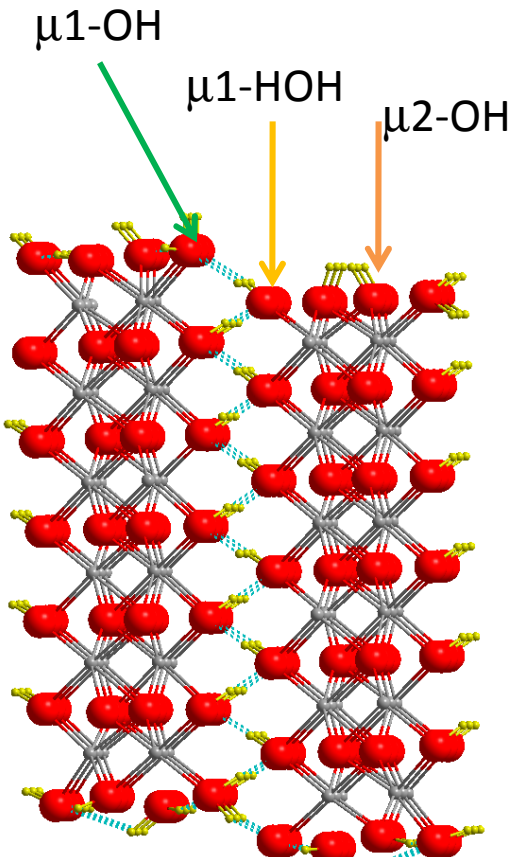


## Liquid-like layer at the contact with amorphous



HARD MATTER HAS THE LAST WORD !

# Boehmite (101) surface

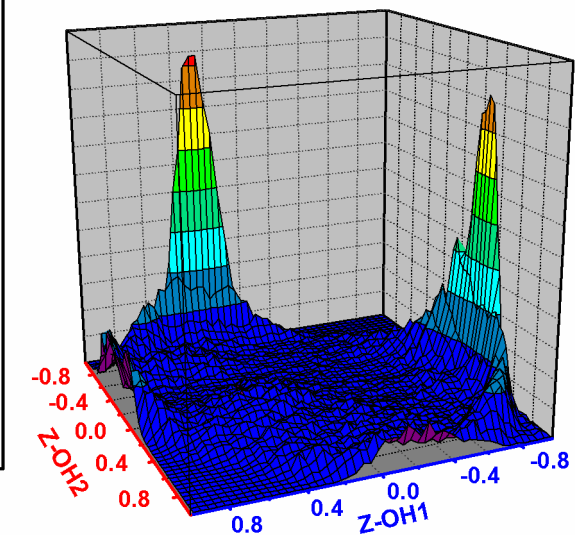
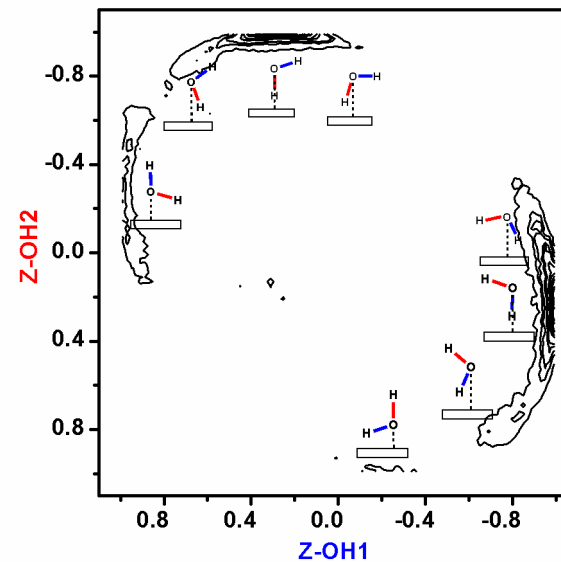
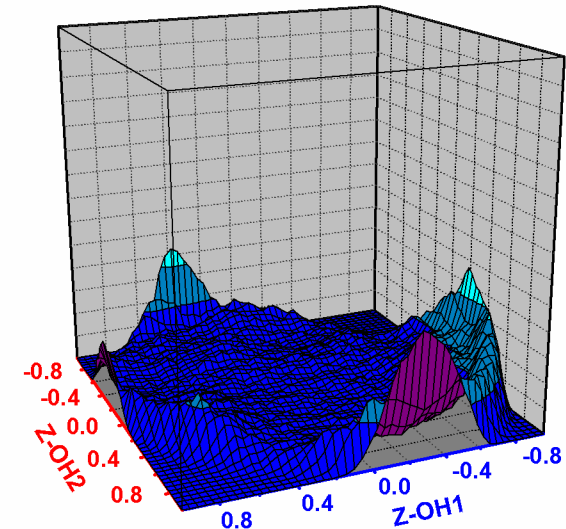
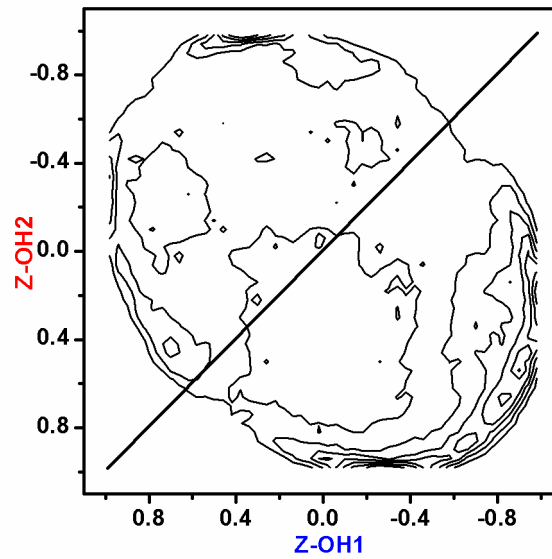
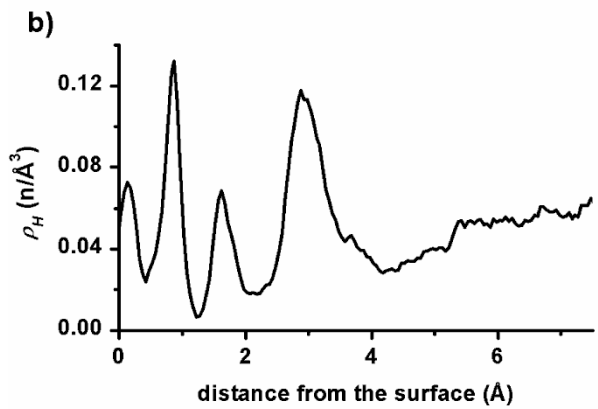
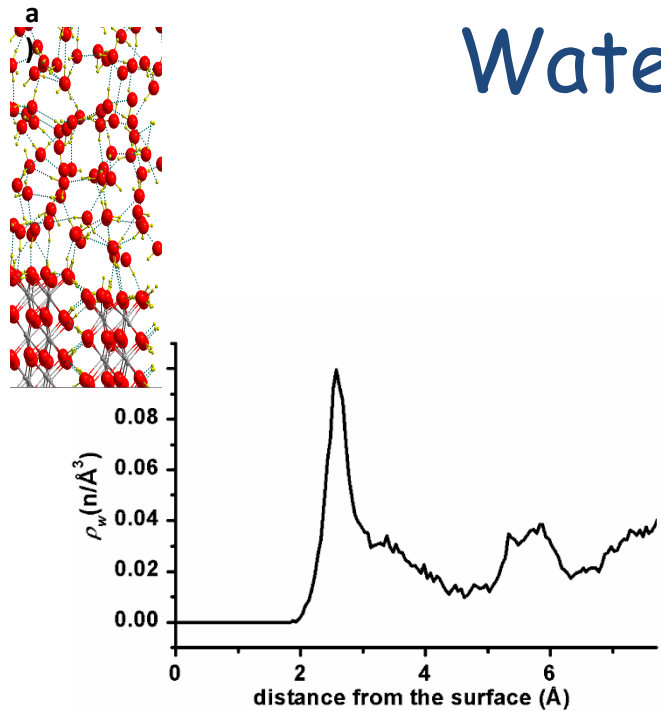


**Three types of OH groups**  
**Music's charge zero**  
**pZc of boehmite 8-9**

The Calculated Proton Association Constants for Several Important Surface Reactions at Various Important (Hydr)oxides<sup>a</sup>

Surface group	Formal charge	$\log K$	$L$
Al-OH	$-\frac{1}{2}$	10.0	2.59
Al <sub>2</sub> -O	-1	12.3	2.43
Al <sub>2</sub> -OH	0	-1.5	2.43
Al <sub>3</sub> -O	$-\frac{1}{2}$	2.2	2.49

# Water @the Interface

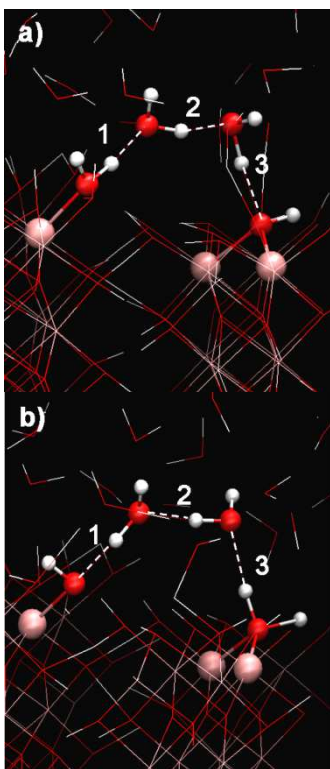
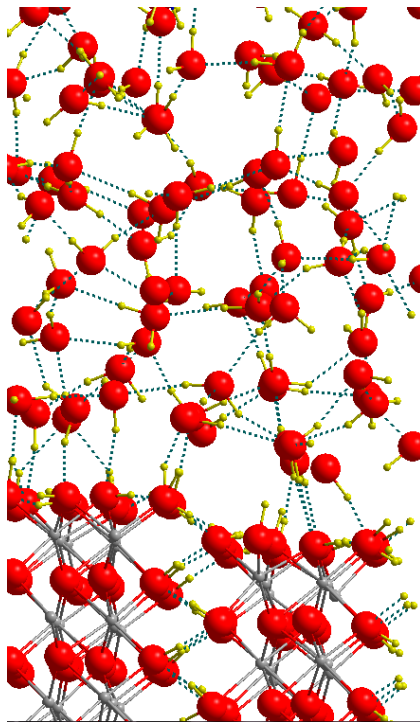


b)

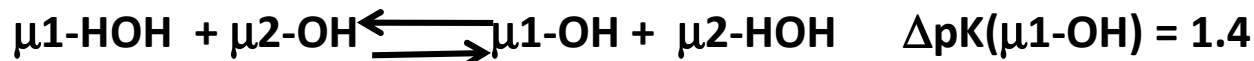
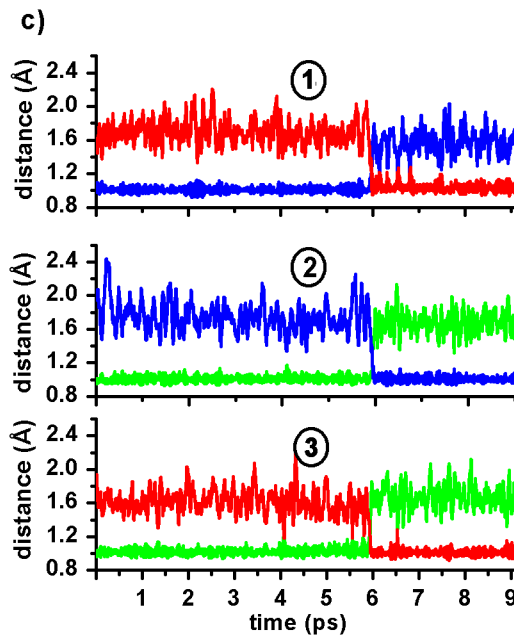
Motta , Gaigeot, Costa, J. Phys. Chem C 2012

# Conductivité protonique@steps

a)



Grotthus mechanism for H exchange



**MUSIC predicts 2-3 units pK difference (Jolivet et al 2004)**

Décembre 2013: Workshop « Oxydes/Solution » CFCAM, Paris

# ***Ab Initio* Study of the dioxygen reduction on oxidized Al at the solid-liquid interface**

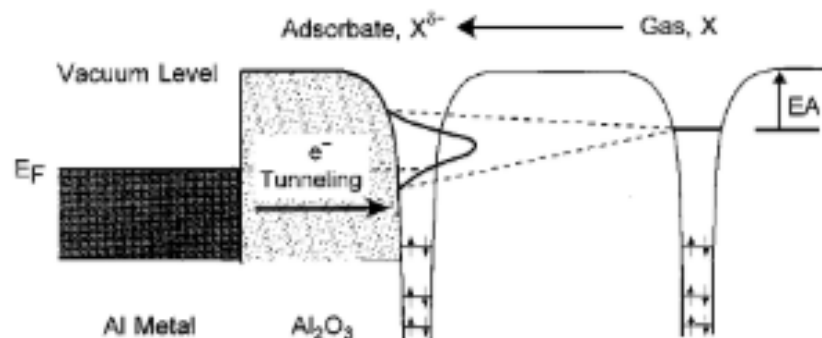
T. Ribeiro, D. Costa, F. Mercuri, G. Pacchioni, S. Zanna, M-P. Gaigeot, P. Marcus

- Cathodic reduction of O<sub>2</sub>
  - The metal is covered with an oxide film
  - Water
- 
- Ab initio modeling of complex aspects:  
cathodic reduction on a metal covered with an oxide film on metal in the presence of solvent

# Experimental Evidence (XPS)

- $\text{Al}_2\text{O}_3/\text{Al}$ , Al-rich, reactivity towards  $\text{O}_3$  and  $\text{Cl}_2$
- Oxide film 20Å, non reactive towards  $\text{O}_2$ , reactive towards  $\text{O}_3$ , inner barrier with a high potential drop

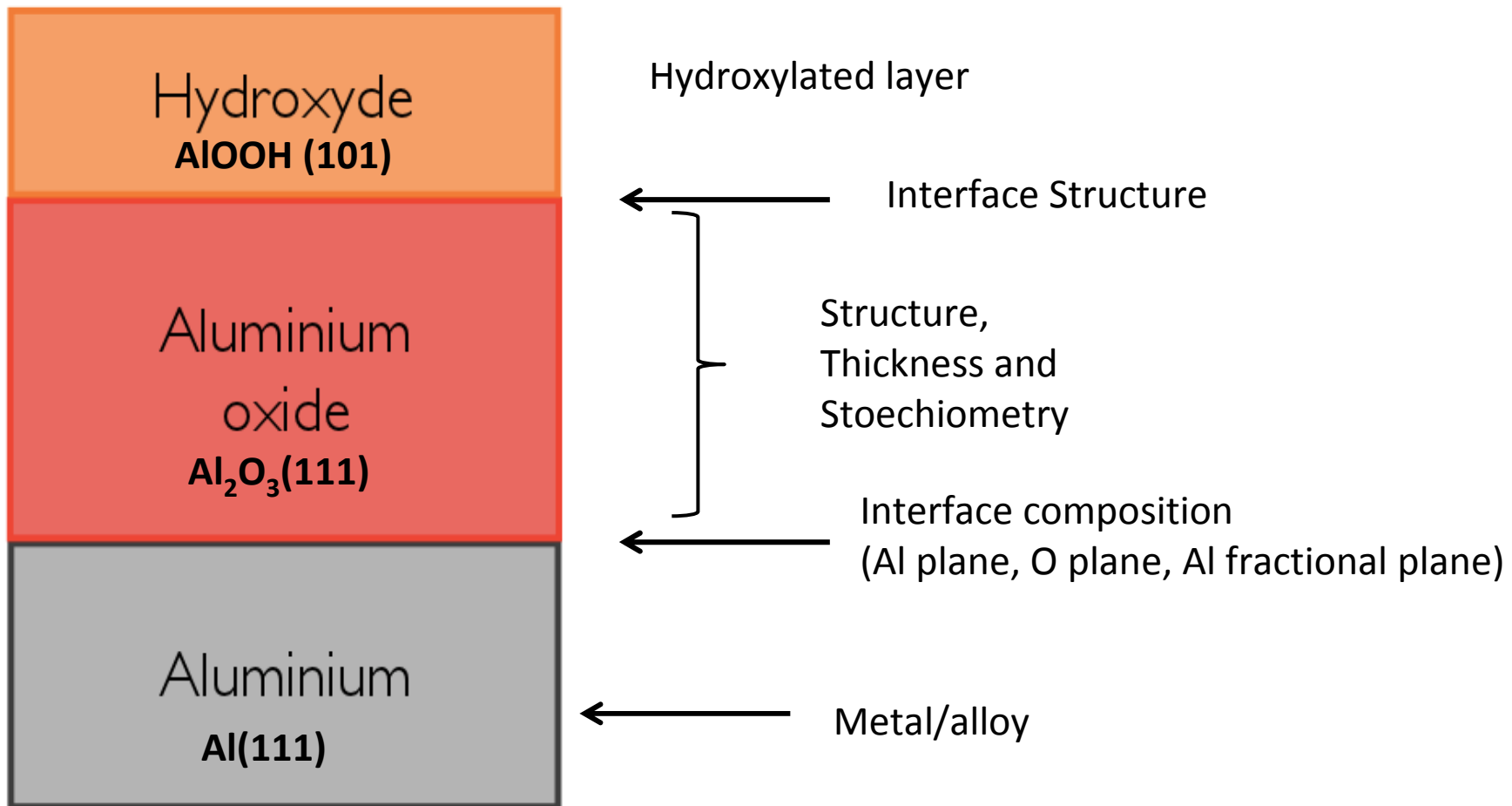
10312 *Langmuir, Vol. 16, No. 26, 2000*



**Figure 6.** Schematic potential energy diagram of electron tunneling from the Al metal to the broadened and lowered affinity level of the X molecule. The tunneling causes charging of the adsorbed molecules ( $X^{\delta-}$ ).

# Model Elaboration

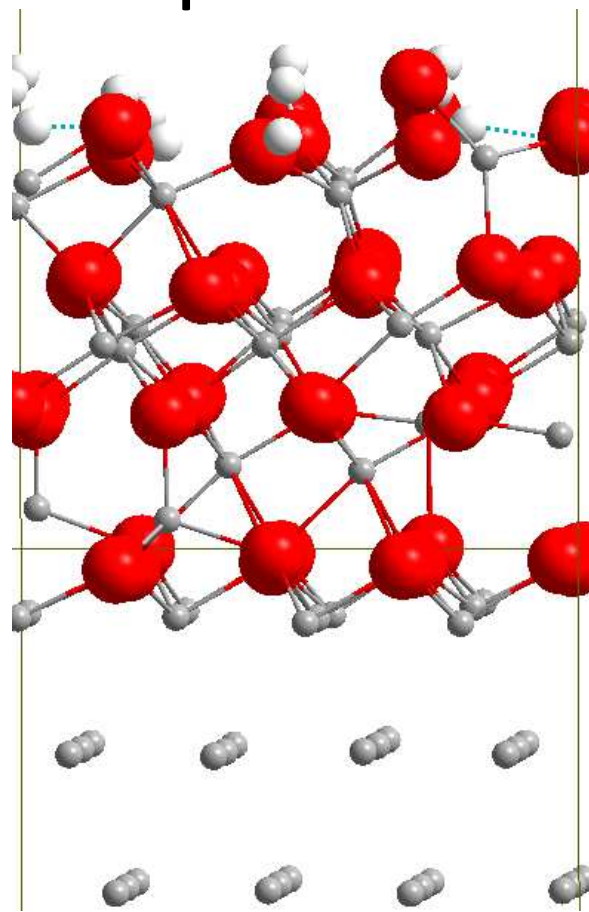
## A tuneable Model of Epitaxial Al(111)/ $\gamma$ -Al<sub>2</sub>O<sub>3</sub>(111)/AlOOH



Several films are built to account for different thermodynamical conditions ( $\text{O}_2$ ,  $\text{H}_2\text{O}$ )

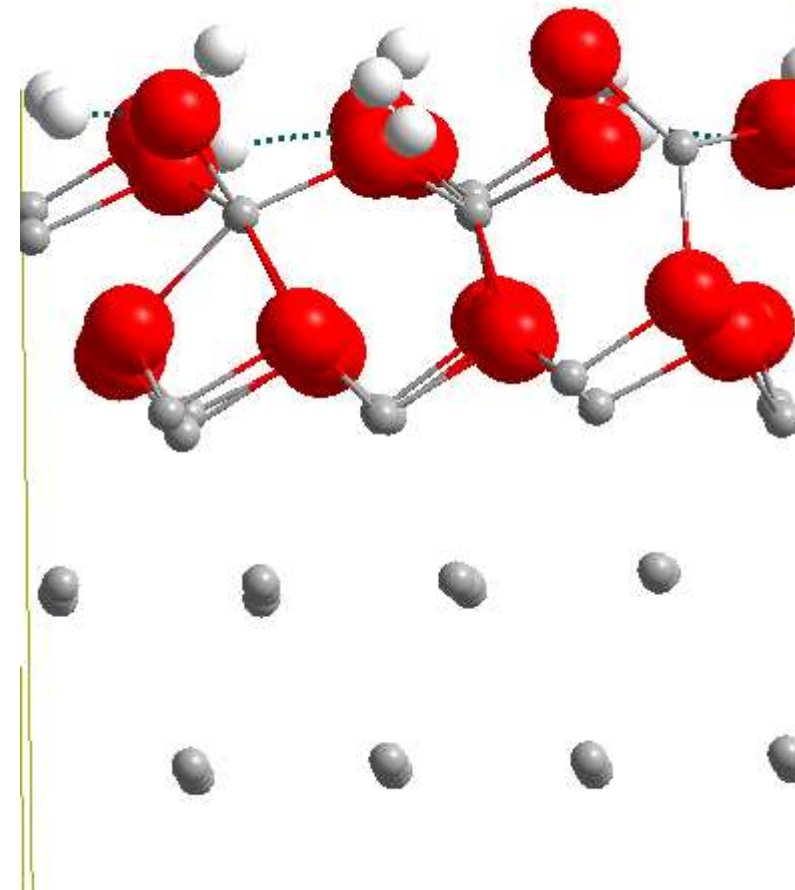
## Films modélisés (1)

Film Epais 9Å



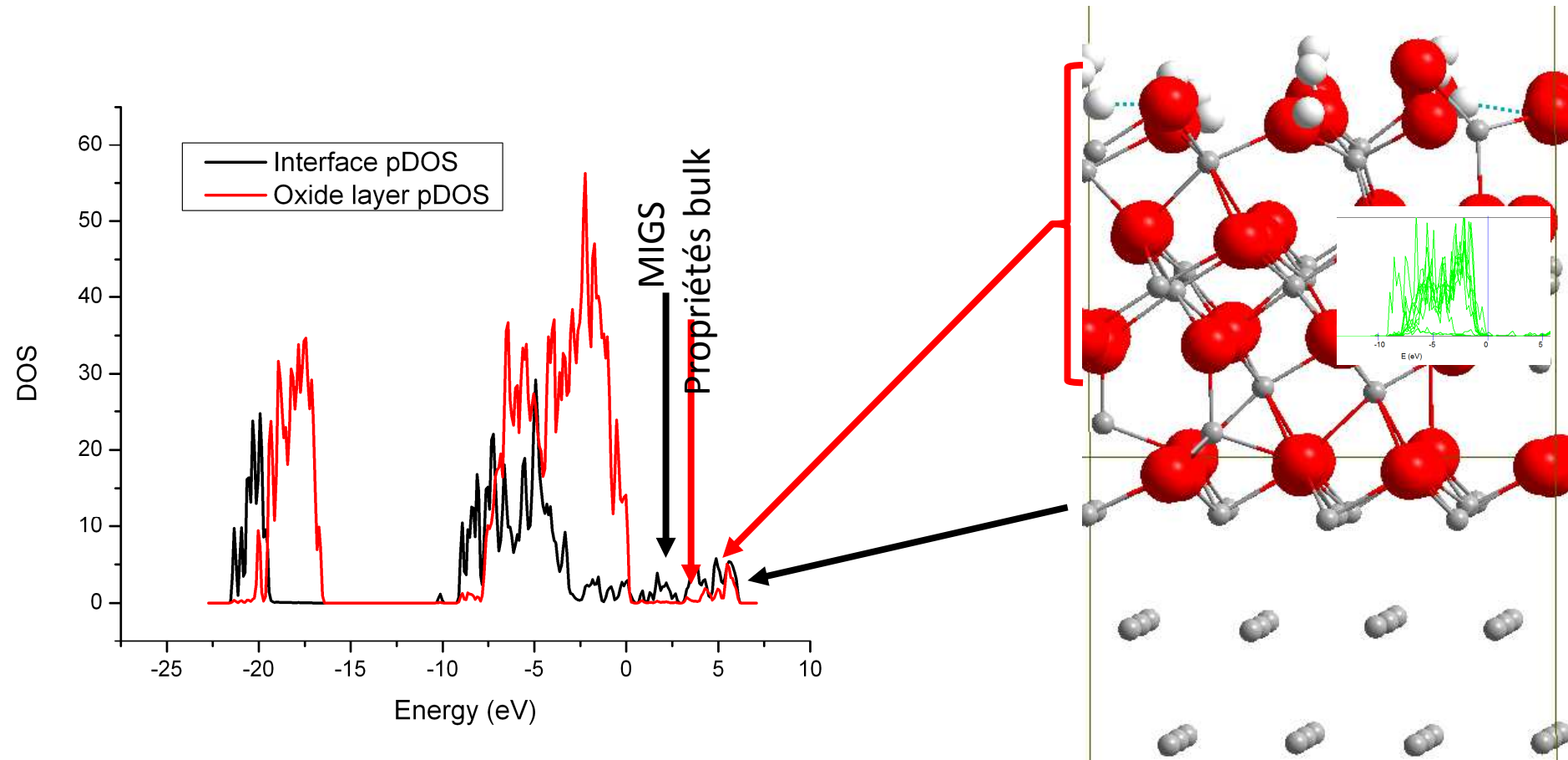
$$\Phi_e = 6.35 \text{ eV}$$

mince Al-rich 4.8Å



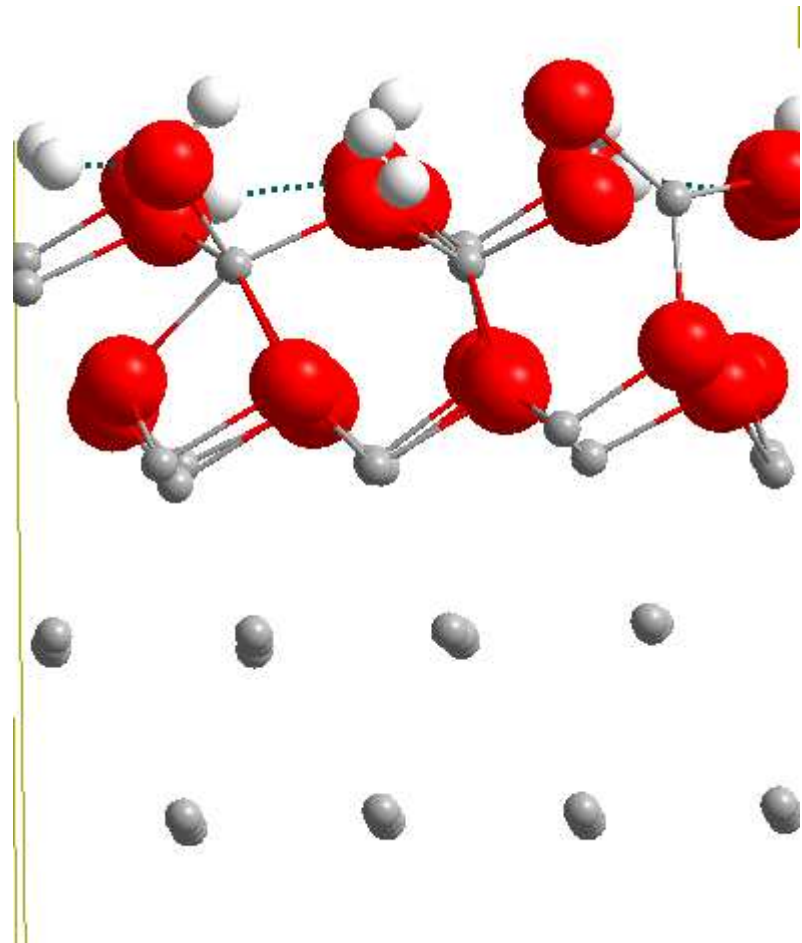
$$4.16 \text{ eV}$$

# DOS du Film Epais

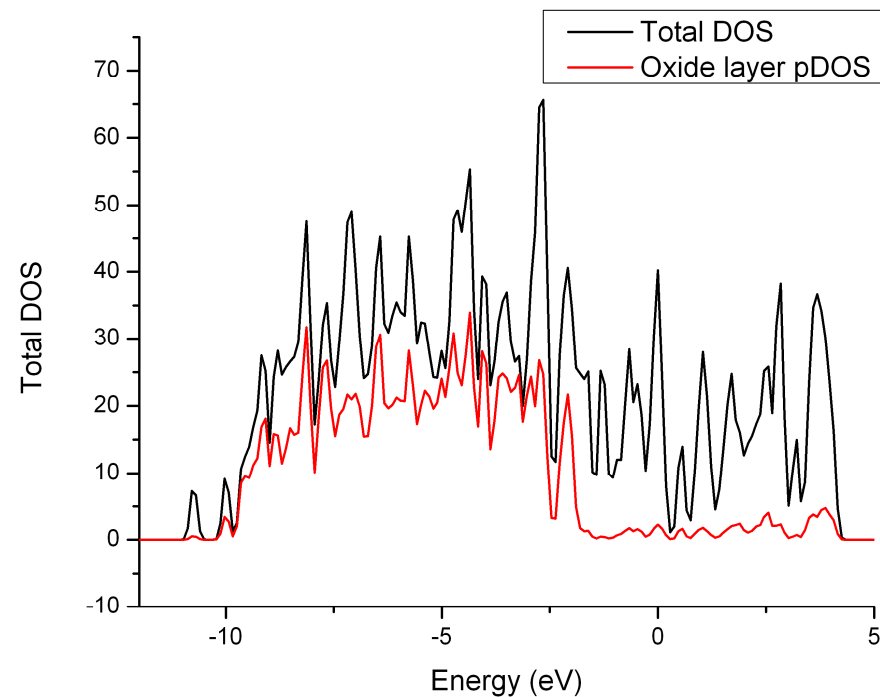


Charges Bader: Transfert film-> métal

# Film Mince

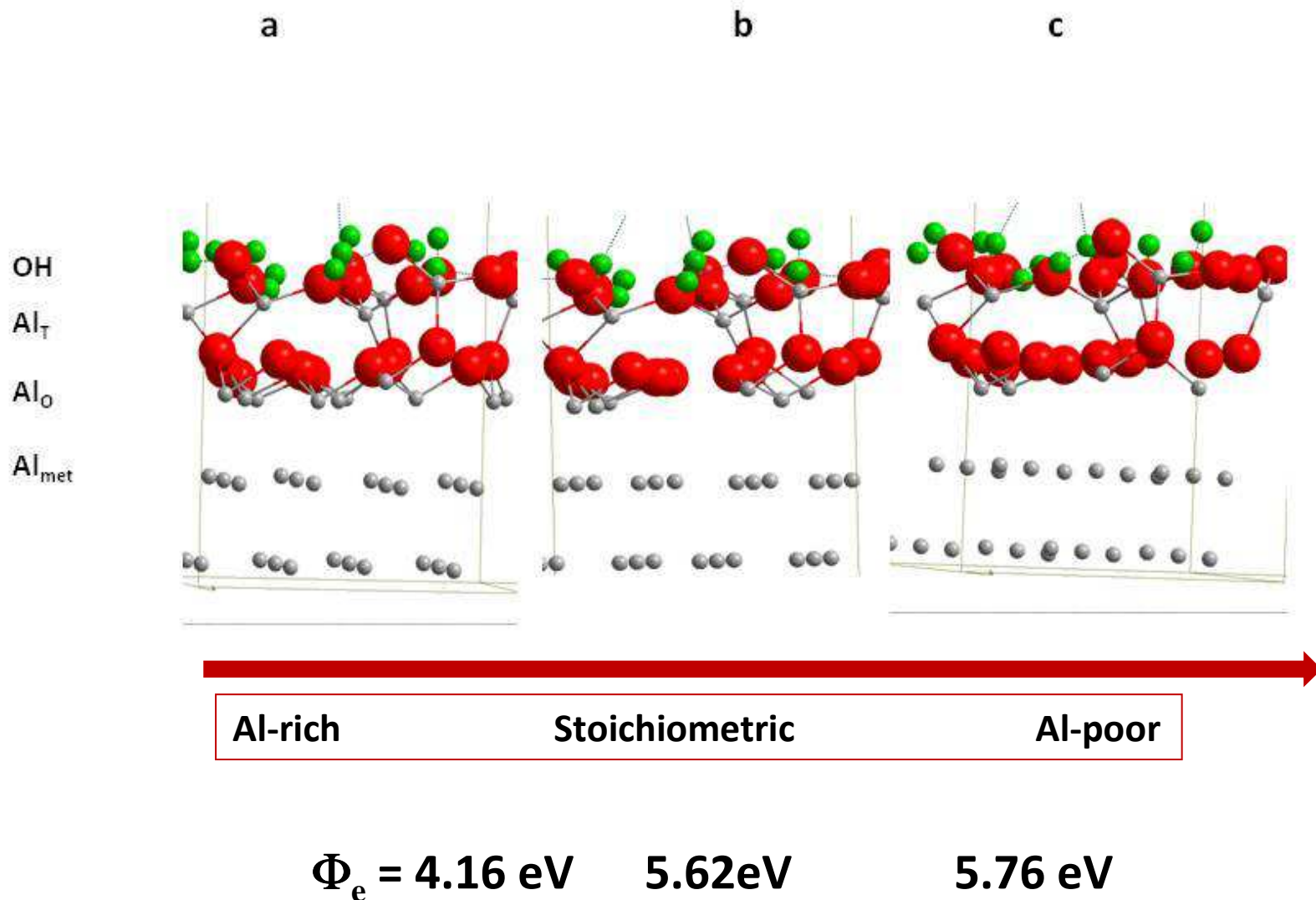


# Mince Al-rich

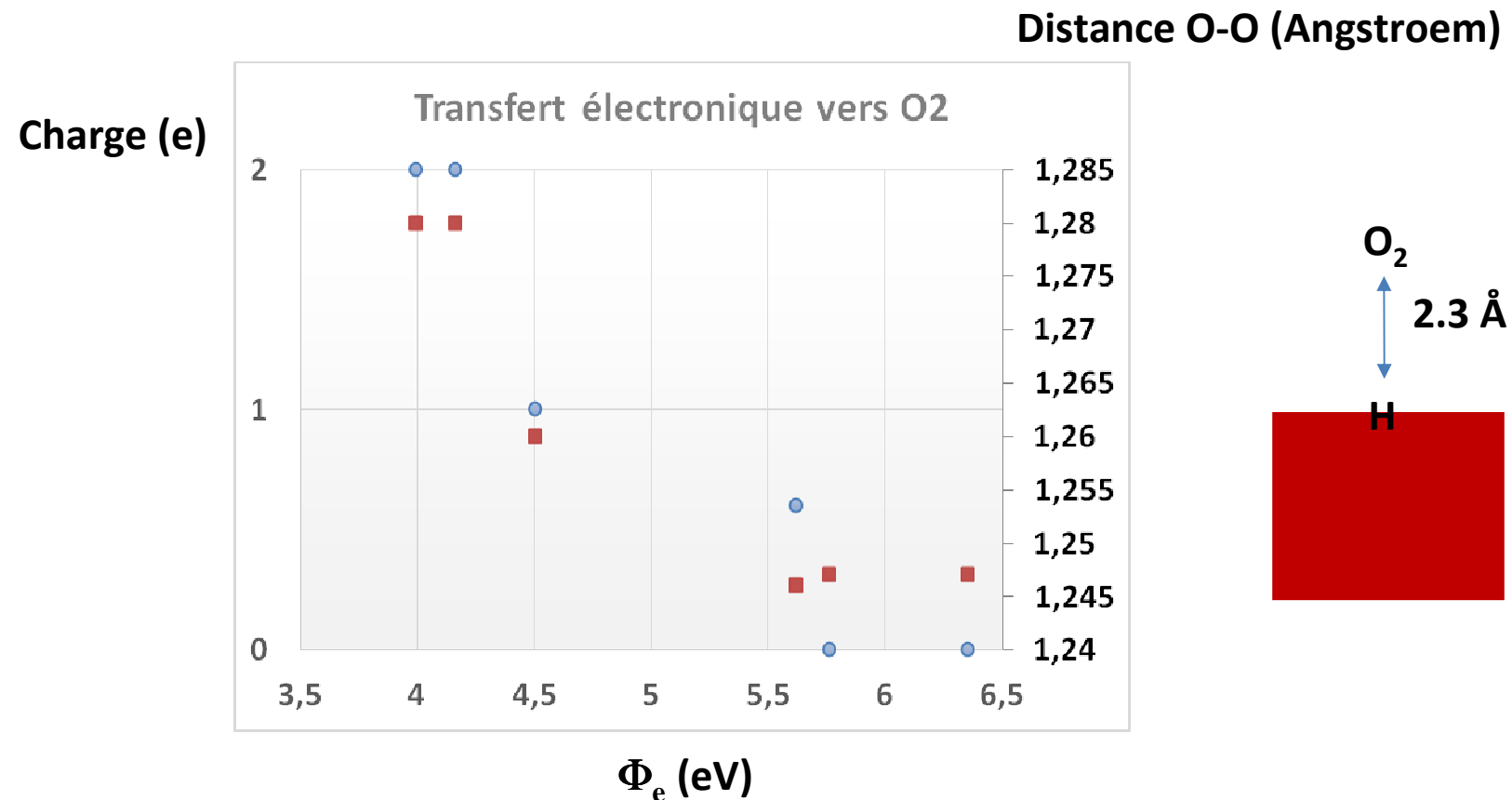


Charges Bader: Transfert métal->film

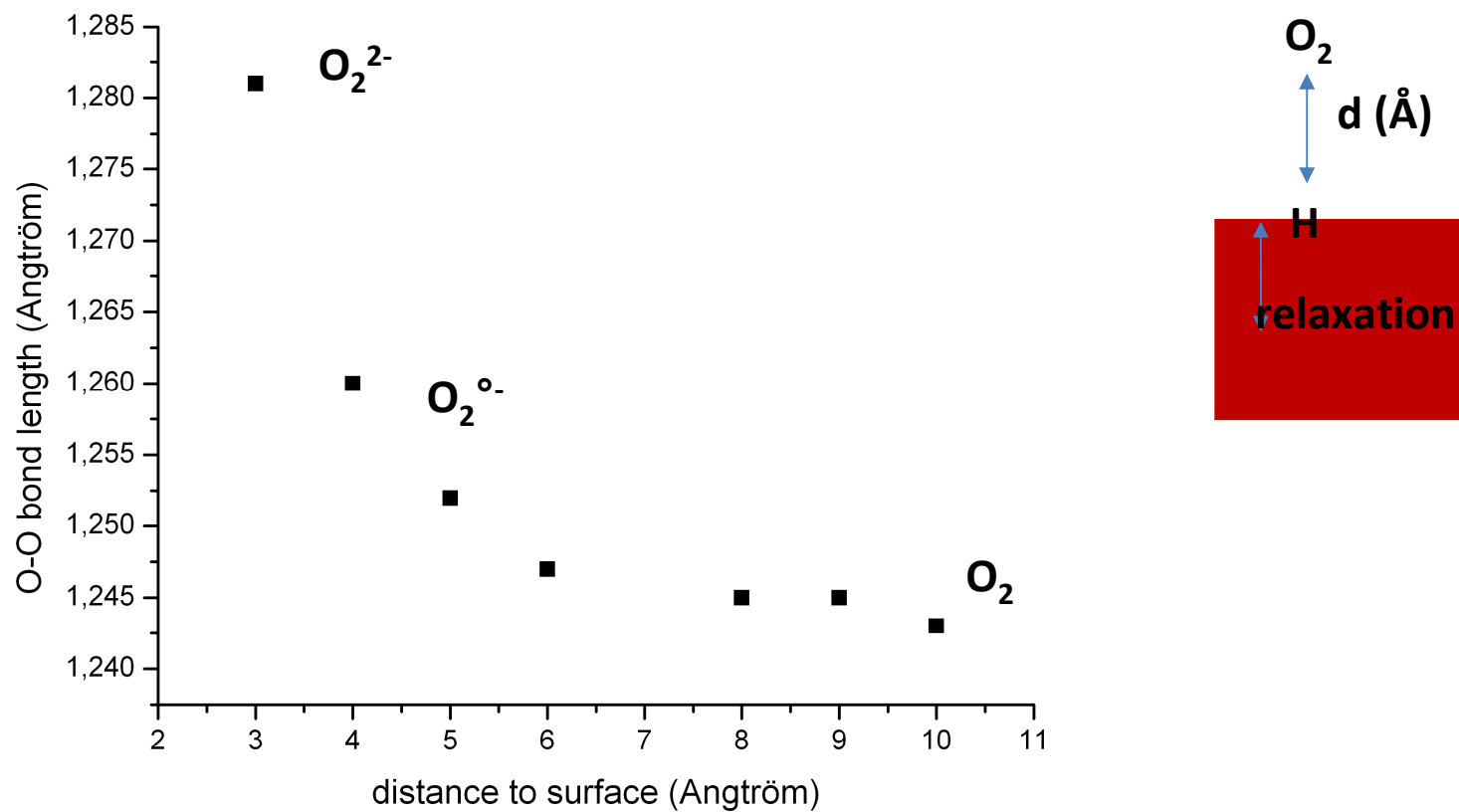
## Films modélisés (2)



# Transfert de charge vers O<sub>2</sub>

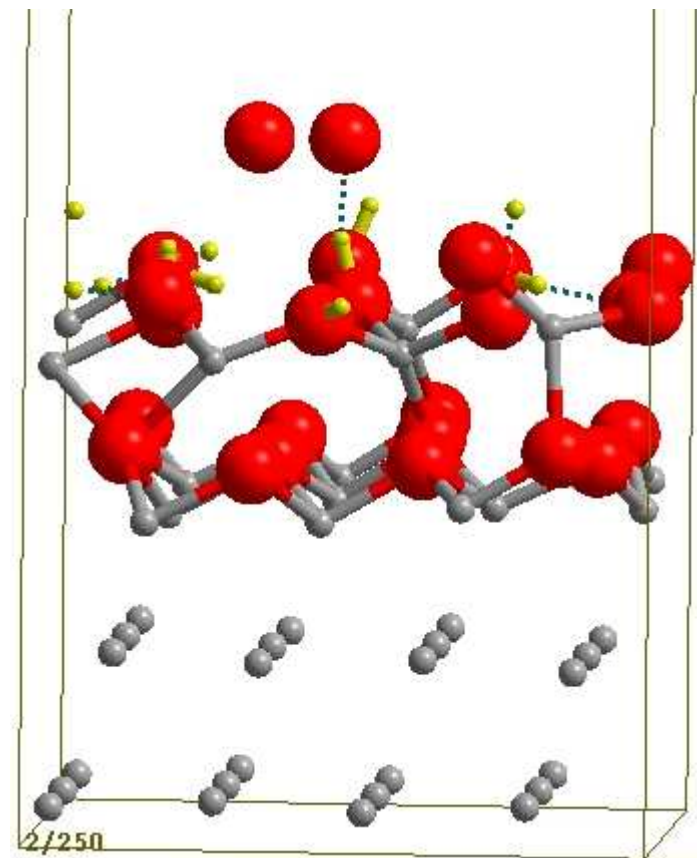


$E_r = EA(O_2) - \Phi e + E_{\text{relax}}$ ,  
film mince Al-rich



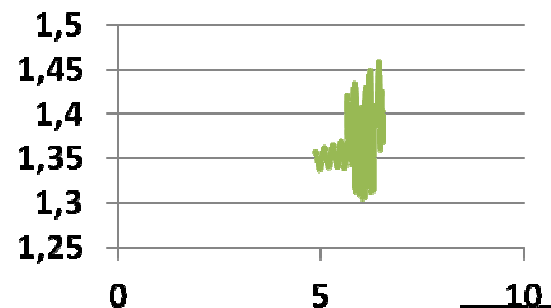
# $O_2$ Reduction, a two e- process

- $O_2 + 2e^- + 2H^+ \rightarrow H_2O_2$  and  
 $H_2O_2 + 2e^- + 2H^+ \rightarrow 2 H_2O$
- Spontaneous reactions, no activation barrier
- $\Delta E_{react} = -4.3$  (-5.8)eV
- Hydroxylated oxide acts as a proton reservoir
- Bader charge analysis shows that electrons originate from the interface layer and surface

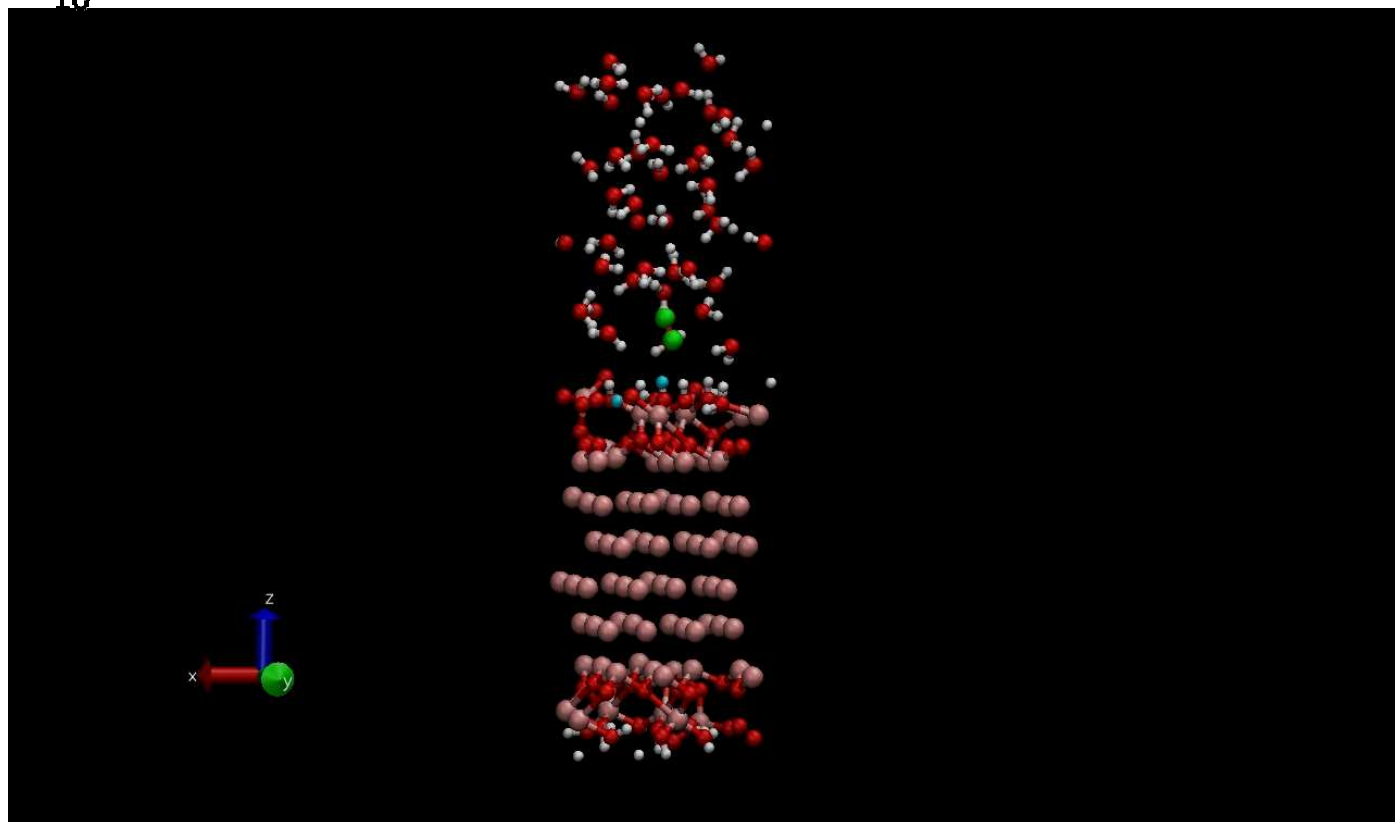


Acidic character of the hydroxylated oxide.

# $O_2$ reduction at the $Al_2O_3$ -Water interface



Transfer of e- to  $O_2$  occurs even at 7 Å from the surface



Merci pour votre Attention